

連続格子桁の理論解析について〔II〕

—主桁挠れ剛性を考慮する場合—

北海道橋梁コンサルタント(株)電子計算部次長 正会員 ○津田英和

1. まえがき

前論文に引き続き、今回は主桁の挠れ剛性を考慮する場合、連続格子桁の理論解析について記述する。我が国の保たれ基準方式に使用する部分では重みがかかってしまっているが、連続格子桁の影響を計算で実算計算値。若不考は次回にゆずることとしている。下図に示されている様に、橋梁形状は主桁相互は平行でなくともよく、又横桁と主桁は直角に取付けられていなくてもよい、又はゆるい任意形状の格子桁を対象としている。前節通り、主桁については挠れ剛性を考慮するが、横桁については曲げ剛性を考慮する。

2. 対象構造形状

理論解析上で対象とする構造形状は、図-1に示されている任意形状の格子桁である。勿論、主桁については挠れ剛性を考慮しているが、横桁については無視して解析する。主桁は単純桁・連続桁のどちらでもよく、その配置も必ずしも互いに平行でもよいし、平行でもよい。横桁は主桁に対して直角に設置されていなくてもよいが、連続格子桁の場合各主桁について同一径方向内なくてはならない。即ち、横桁と支保架とは交差してはならない。

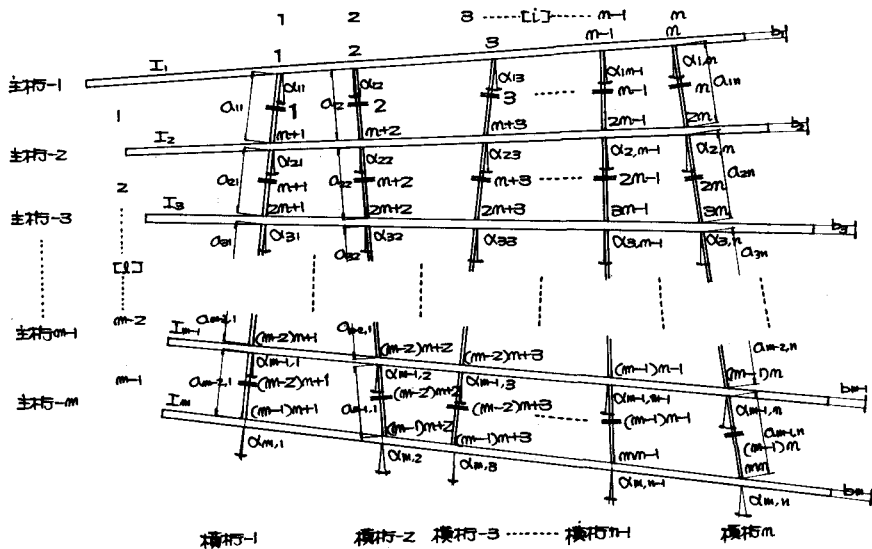
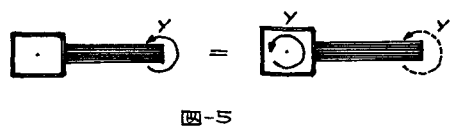
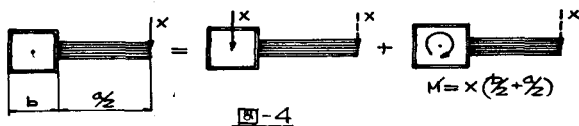


図-1

3. 本解析に採用している記号と符号

本解析に採用している記号については次ページに示されている通りである。

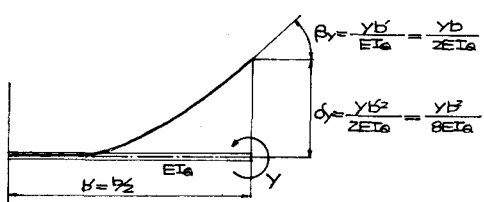
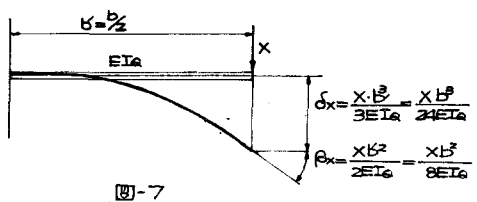
同様に曲げモーメントが作用するが、本解析上はこれの曲げモーメントを考慮する必要はない。



- ・ 不静定曲げモーメント Y が作用する場合、図5の如く主軸 Y 対して断面中心回りに振りモーメントが作用する。
- ・ 次はカンチレバーの不静定力 X, Y が作用し且時の変位であるが、之は次の項で記述する。

4-1 カンチレバーの不静定力 X, Y が作用し且時の変位

- ・ 不静定断面力 X が作用し且場合 図-6参照
- ・ 不静定曲げモーメントが作用し且場合 図-7参照



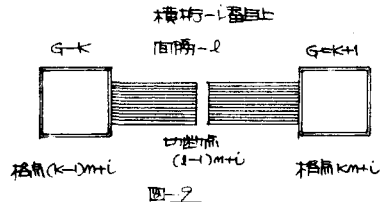
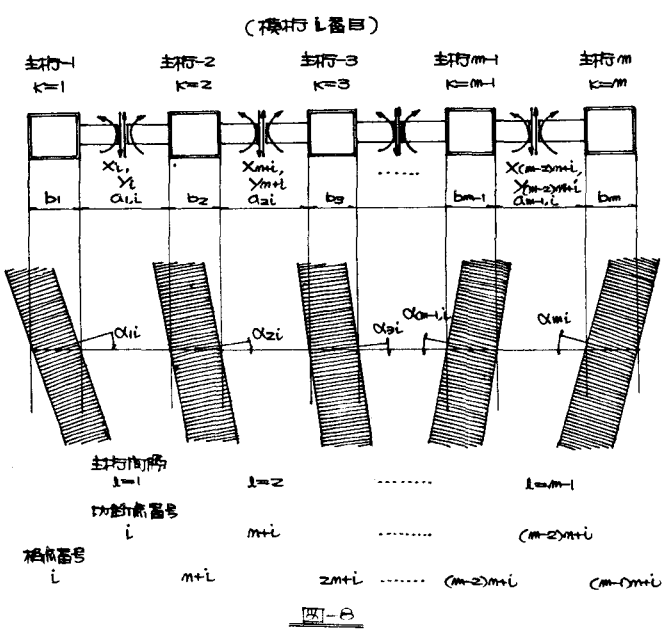
ここに上図の記号を使って

$$A_{c(i-m)+i} = \frac{a_{xi}^2}{24EI_0}, B_{c(i-m)+i} = \frac{a_{yi}^2}{8EI_0}, C_{c(i-m)+i} = \frac{a_{xi}}{2EI_0} \quad (1)$$

4-2 不静定力 X, Y が作用し且時の断面の変位

まず変位を考ふる前に梁折、便宜のため、主軸と横軸との交点を各節点と断面を主軸で番号 [K], 又は主軸方向の断面を [L], 横軸で番号 [i] によって完全決定出来る様にして置く。勿論 K=1~m 本, L=1~(m-1), i=1~n 本である。

今この節、横軸を取り出して示す。(図-8参照) 此の図より、主軸 K 節点 G=K+1 の部分と取出す。(図-9参照)



2主方向、同側番号は1番目であるから、横筋i番目、切筋筋部は $(k-1)m+i$ 、接合部開口主筋 $g-k$ 上は $(k-1)m+i$ 、 $g-k$ 上は $l-m+i$ となる。又切筋点、左側はL、右側はRの記号を付けて区別する。

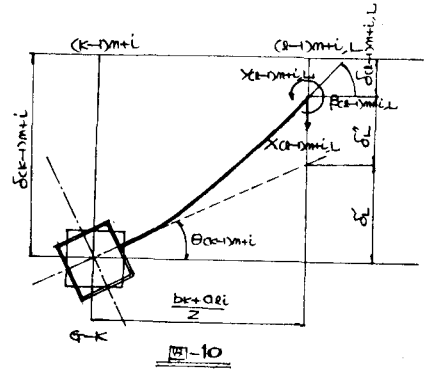
1) 切筋点左側の変位

切筋点左側のE力 $\delta_{(k-1)m+i,L}$ は、

$$\delta_{(k-1)m+i,L} = \delta_{k-1)m+i} - \frac{b_k + a_{ei}}{2} \cdot \theta_{(k-1)m+i} \cdot \cos \alpha_{k,i} + A_{(k-1)m+i} \cdot X_{(k-1)m+i} - B_{(k-1)m+i} \cdot Y_{(k-1)m+i} \dots (2)$$

切筋点左側の回転角 $\theta_{(k-1)m+i}$ は、

$$\theta_{(k-1)m+i,L} = \theta_{k-1)m+i} \cdot \cos \alpha_{k,i} - B_{(k-1)m+i} \cdot X_{(k-1)m+i} + C_{(k-1)m+i} \cdot Y_{(k-1)m+i} \dots (3)$$



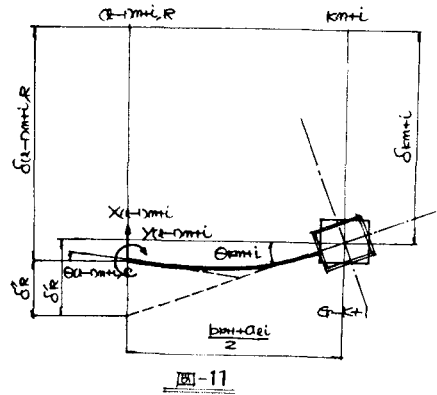
2) 切筋点右側の変位

切筋点右側のE力 $\delta_{(k-1)m+i,R}$ は、

$$\delta_{(k-1)m+i,R} = \delta_{k-1)m+i} + \frac{b_k + a_{ei}}{2} \cdot \theta_{k-1)m+i} \cdot \cos \alpha_{k,i} - A_{(k-1)m+i} \cdot X_{(k-1)m+i} - B_{(k-1)m+i} \cdot Y_{(k-1)m+i} \dots (4)$$

切筋点右側の回転角 $\theta_{(k-1)m+i,R}$ は、

$$\theta_{(k-1)m+i,R} = \theta_{k-1)m+i} \cdot \cos \alpha_{k,i} - B_{(k-1)m+i} \cdot X_{(k-1)m+i} - C_{(k-1)m+i} \cdot Y_{(k-1)m+i} \dots (5)$$



4-3 変位の連続条件式

横筋の切筋点Fについて、E力 δ 、回転角 θ は連続している。従って

$$\delta_{(k-1)m+i,L} = \delta_{(k-1)m+i,R} \dots (6)$$

$$\theta_{(k-1)m+i,L} = \theta_{(k-1)m+i,R} \dots (7)$$

A δ より立E力 δ を消去する。

(6)式より

$$\delta_{k-1)m+i} - \frac{b_k + a_{ei}}{2} \cdot \theta_{(k-1)m+i} \cdot \cos \alpha_{k,i} + A_{(k-1)m+i} \cdot X_{(k-1)m+i} - B_{(k-1)m+i} \cdot Y_{(k-1)m+i} = \delta_{k-1)m+i} + \frac{b_k + a_{ei}}{2} \cdot \theta_{k-1)m+i} \cdot \cos \alpha_{k,i} - A_{(k-1)m+i} \cdot X_{(k-1)m+i} - B_{(k-1)m+i} \cdot Y_{(k-1)m+i}$$

$$\therefore \delta_{k-1)m+i} - \delta_{k-1)m+i} - \left(\frac{b_k + a_{ei}}{2} \cdot \cos \alpha_{k,i} \cdot \theta_{(k-1)m+i} + \frac{b_k + a_{ei}}{2} \cdot \cos \alpha_{k,i} \cdot \theta_{k-1)m+i} \right) = -2 \cdot A_{(k-1)m+i} \cdot X_{(k-1)m+i} \dots (8)$$

(7) 式より,

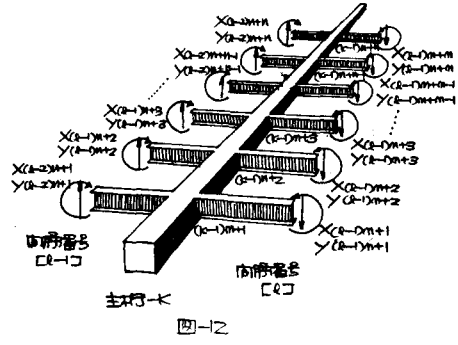
$$\begin{aligned} & \Theta_{(k-1)m+i} \cdot \cos \alpha_{k,i} - B_{(k-1)m+i} \cdot X_{(k-1)m+i} + C_{(k-1)m+i} \cdot X_{(k-1)m+i} \\ & = \Theta_{(k-1)m+i} \cdot \cos \alpha_{k+1,i} - B_{(k-1)m+i} \cdot X_{(k-1)m+i} - C_{(k-1)m+i} \cdot Y_{(k-1)m+i} \end{aligned}$$

$$\therefore \Theta_{(k-1)m+i} \cdot \cos \alpha_{k,i} - \Theta_{(k-1)m+i} \cdot \cos \alpha_{k+1,i} = -2C_{(k-1)m+i} \cdot Y_{(k-1)m+i} \quad (9)$$

4-4 基本形に外力が作用し直時の変位の均合の式

基本形に外力が作用すると換行の断面には不確定剪断力 X 、不確定曲げモーメントが生じて、その値が確定する。基本形には外力による変形と不確定力 X, Y による変形が生じ、基本形任意点の変位は外力による変位と不確定力による変位との和として求められる。

今主桁下生ずる変形を一般均形 F, x, y, z という形で表はす。起角 F は δ 、起角 β 、回転角 θ で表はされ、 x は外力を表はし、垂直力 P 、曲げモーメント M 、換行モーメント T で代表される。 y は格点上の着目点、 z は同じく高座点、この場合は着目している不確定力の働いている格点を表はしている。



今主桁 K 上に外力として垂直力 $P=1$ 又は換行モーメント $T=1$ が載荷される場合、側桁 $L1$ 側の断面には不確定剪断力 $X_{(k-2)m+j}$ ($j=1, 2, \dots, m$)、不確定曲げモーメント $Y_{(k-2)m+j}$ ($j=1, 2, \dots, m$)、側桁 $L2$ 側の断面には同様に $X_{(k-1)m+i}$ ($i=1, 2, \dots, m$)、 $Y_{(k-1)m+i}$ ($i=1, 2, \dots, m$) が生ずるが、之等を主桁下作用する断面力に変換し、主桁 K 上の j 番目の格点の変形に着目して起角 δ の均合、回転角 θ の均合を考慮すると次の式が与えられる。

1) 起角 δ の均合の式

$$\begin{aligned} \delta_{(k-1)m+i} &= \delta'_{(k-1)m+i} + \sum_{j=1}^m (X_{(k-1)m+j} - X_{(k-2)m+j}) \cdot \delta_{(k-1)m+j}^P \\ &+ \sum_{j=1}^m \left[\left\{ -\left(\frac{bk+al_j}{2}\right) X_{(k-1)m+j} + \frac{bk+al_j}{2} X_{(k-2)m+j} \right\} + Y_{(k-1)m+j} - Y_{(k-2)m+j} \right] \cdot \sin \alpha_{k,j} \cdot \delta_{(k-1)m+j}^M \\ &+ \sum_{j=1}^m \left[\left\{ -\left(\frac{bk+al_j}{2}\right) X_{(k-1)m+j} + \frac{bk+al_j}{2} X_{(k-2)m+j} \right\} + Y_{(k-1)m+j} - Y_{(k-2)m+j} \right] \cdot \cos \alpha_{k,j} \cdot \delta_{(k-1)m+j}^T \quad (10) \end{aligned}$$

2) 回転角 θ の均合の式

$$\begin{aligned} \Theta_{(k-1)m+i} &= \Theta'_{(k-1)m+i} + \sum_{j=1}^m (X_{(k-1)m+j} - X_{(k-2)m+j}) \cdot \Theta_{(k-1)m+j}^P \\ &+ \sum_{j=1}^m \left[\left\{ -\left(\frac{bk+al_j}{2}\right) X_{(k-1)m+j} + \frac{bk+al_j}{2} X_{(k-2)m+j} \right\} + Y_{(k-1)m+j} - Y_{(k-2)m+j} \right] \cdot \sin \alpha_{k,j} \cdot \Theta_{(k-1)m+j}^M \\ &+ \sum_{j=1}^m \left[\left\{ -\left(\frac{bk+al_j}{2}\right) X_{(k-1)m+j} + \frac{bk+al_j}{2} X_{(k-2)m+j} \right\} + Y_{(k-1)m+j} - Y_{(k-2)m+j} \right] \cdot \cos \alpha_{k,j} \cdot \Theta_{(k-1)m+j}^T \quad (11) \end{aligned}$$

4-5 仕事方程式(其1)

式(10)を式(8)に代入して次の様な式が得られる。

$$\begin{aligned}
 & \sum_{j=1}^m \left[\left(-\frac{\delta_{(k-1)m+j}^{\beta} - b_{k+1} a_{k+1} j}{2} \sin \alpha_{k,j} \cdot \delta_{(k-1)m+j}^{\alpha} - \frac{b_{k+1} a_{k+1} j}{2} \cos \alpha_{k,j} \cdot \delta_{(k-1)m+j}^{\tau} + \frac{b_{k+1} a_{k+1} j}{2} \cos \alpha_{k,i} \cdot \theta_{(k-1)m+j}^{\beta} + \frac{b_{k+1} a_{k+1} j}{2} \right. \right. \\
 & \quad \times \left. \sin \alpha_{k,j} \cdot \cos \alpha_{k,i} \cdot \theta_{(k-1)m+j}^{\alpha} + \frac{b_{k+1} a_{k+1} j}{2} \cdot \frac{b_{k+1} a_{k+1} j}{2} \cdot \cos \alpha_{k,j} \cdot \cos \alpha_{k,i} \cdot \theta_{(k-1)m+j}^{\tau} \right) \cdot X_{(k-2)m+j} \\
 & + \left(\frac{\delta_{(k-1)m+j}^{\beta} - b_{k+1} a_{k+1} j}{2} \sin \alpha_{k,j} \cdot \delta_{(k-1)m+j}^{\alpha} - \frac{b_{k+1} a_{k+1} j}{2} \cos \alpha_{k,j} \cdot \delta_{(k-1)m+j}^{\tau} + \frac{\delta_{k+1}^{\beta} + b_{k+1} a_{k+1} j}{2} \sin \alpha_{k+1,j} \cdot \delta_{k+1}^{\alpha} \right. \\
 & + \frac{b_{k+1} a_{k+1} j}{2} \cos \alpha_{k+1,j} \cdot \delta_{k+1}^{\tau} - \frac{b_{k+1} a_{k+1} j}{2} \cos \alpha_{k,i} \cdot \theta_{(k-1)m+j}^{\beta} + \frac{b_{k+1} a_{k+1} j}{2} \cdot \frac{b_{k+1} a_{k+1} j}{2} \cdot \sin \alpha_{k,j} \cdot \cos \alpha_{k,i} \cdot \theta_{(k-1)m+j}^{\alpha} \\
 & + \frac{b_{k+1} a_{k+1} j}{2} \cdot \frac{b_{k+1} a_{k+1} j}{2} \cos \alpha_{k,j} \cdot \theta_{(k-1)m+j}^{\tau} + \frac{b_{k+1} a_{k+1} j}{2} \cos \alpha_{k+1,i} \cdot \theta_{k+1}^{\beta} + \frac{b_{k+1} a_{k+1} j}{2} \cdot \frac{b_{k+1} a_{k+1} j}{2} \cdot \sin \alpha_{k+1,j} \cdot \cos \alpha_{k+1,i} \cdot \theta_{k+1}^{\alpha} \\
 & \left. + \frac{b_{k+1} a_{k+1} j}{2} \cdot \frac{b_{k+1} a_{k+1} j}{2} \cos \alpha_{k+1,j} \cdot \cos \alpha_{k+1,i} \cdot \theta_{k+1}^{\tau} \right) \cdot X_{(k-1)m+j} \\
 & + \left(-\delta_{k+1}^{\beta} + \frac{b_{k+1} a_{k+1} j}{2} \sin \alpha_{k+1,j} \cdot \delta_{k+1}^{\alpha} + \frac{b_{k+1} a_{k+1} j}{2} \cos \alpha_{k+1,i} \cdot \delta_{k+1}^{\tau} - \frac{b_{k+1} a_{k+1} j}{2} \cos \alpha_{k+1,i} \cdot \theta_{k+1}^{\beta} + \frac{b_{k+1} a_{k+1} j}{2} \cdot \frac{b_{k+1} a_{k+1} j}{2} \right. \\
 & \quad \times \left. \sin \alpha_{k+1,j} \cdot \cos \alpha_{k+1,i} \cdot \theta_{k+1}^{\alpha} + \frac{b_{k+1} a_{k+1} j}{2} \cdot \frac{b_{k+1} a_{k+1} j}{2} \cos \alpha_{k+1,j} \cdot \cos \alpha_{k+1,i} \cdot \theta_{k+1}^{\tau} \right) \cdot X_{2n+j} \\
 & + \left(-\sin \alpha_{k,j} \cdot \delta_{(k-1)m+j}^{\beta} - \cos \alpha_{k,j} \cdot \delta_{(k-1)m+j}^{\alpha} + \frac{b_{k+1} a_{k+1} j}{2} \cdot \sin \alpha_{k,j} \cdot \cos \alpha_{k,i} \cdot \theta_{(k-1)m+j}^{\beta} + \frac{b_{k+1} a_{k+1} j}{2} \cdot \cos \alpha_{k,j} \cdot \cos \alpha_{k,i} \cdot \theta_{(k-1)m+j}^{\alpha} \right) \\
 & \quad \times Y_{(k-2)m+j} + \left(\sin \alpha_{k,j} \cdot \delta_{(k-1)m+j}^{\beta} + \cos \alpha_{k,j} \cdot \delta_{(k-1)m+j}^{\alpha} + \sin \alpha_{k+1,j} \cdot \delta_{k+1}^{\beta} + \cos \alpha_{k+1,i} \cdot \delta_{k+1}^{\alpha} - \frac{b_{k+1} a_{k+1} j}{2} \cdot \sin \alpha_{k,j} \right. \\
 & \quad \times \left. \cos \alpha_{k,i} \cdot \theta_{(k-1)m+j}^{\beta} - \frac{b_{k+1} a_{k+1} j}{2} \cos \alpha_{k,j} \cdot \cos \alpha_{k,i} \cdot \theta_{(k-1)m+j}^{\alpha} + \frac{b_{k+1} a_{k+1} j}{2} \sin \alpha_{k+1,j} \cdot \cos \alpha_{k+1,i} \cdot \theta_{k+1}^{\beta} \right. \\
 & \quad \left. + \frac{b_{k+1} a_{k+1} j}{2} \cos \alpha_{k+1,j} \cdot \cos \alpha_{k+1,i} \cdot \theta_{k+1}^{\alpha} \right) \cdot Y_{(k-1)m+j} + \left(-\sin \alpha_{k+1,j} \cdot \delta_{k+1}^{\beta} - \cos \alpha_{k+1,i} \cdot \delta_{k+1}^{\alpha} - \frac{b_{k+1} a_{k+1} j}{2} \sin \alpha_{k+1,j} \right. \\
 & \quad \times \left. \cos \alpha_{k+1,i} \cdot \theta_{k+1}^{\beta} - \frac{b_{k+1} a_{k+1} j}{2} \cos \alpha_{k+1,j} \cdot \cos \alpha_{k+1,i} \cdot \theta_{k+1}^{\alpha} \right) \cdot Y_{2n+j} \Big] + 2A_{(k-1)m+i} \cdot X_{(k-1)m+i} \\
 & = \delta_{k+1}^{\beta} - \delta_{(k-1)m+i}^{\beta} + \frac{b_{k+1} a_{k+1} j}{2} \cos \alpha_{k+1,i} \cdot \theta_{k+1}^{\beta} + \frac{b_{k+1} a_{k+1} j}{2} \cos \alpha_{k,i} \cdot \theta_{(k-1)m+i} \dots \dots \dots (12)
 \end{aligned}$$

4-6 仕事方程式(其2)

式(11)を式(9)に代入すると次の様な式が得られる。

$$\begin{aligned}
 & \sum_{j=1}^m \left[\left(-\cos \alpha_{k,i} \cdot \theta_{(k-1)m+j}^{\beta} - \frac{b_{k+1} a_{k+1} j}{2} \sin \alpha_{k,j} \cdot \cos \alpha_{k,i} \cdot \theta_{(k-1)m+j}^{\alpha} - \frac{b_{k+1} a_{k+1} j}{2} \cos \alpha_{k,j} \cdot \cos \alpha_{k,i} \cdot \theta_{(k-1)m+j}^{\tau} \right) \cdot X_{(k-2)m+j} \right. \\
 & + \left(\cos \alpha_{k,i} \cdot \theta_{(k-1)m+j}^{\beta} - \frac{b_{k+1} a_{k+1} j}{2} \sin \alpha_{k,j} \cdot \cos \alpha_{k,i} \cdot \theta_{(k-1)m+j}^{\alpha} - \frac{b_{k+1} a_{k+1} j}{2} \cos \alpha_{k,j} \cdot \cos \alpha_{k,i} \cdot \theta_{(k-1)m+j}^{\tau} + \cos \alpha_{k+1,i} \cdot \theta_{k+1}^{\beta} \right. \\
 & + \frac{b_{k+1} a_{k+1} j}{2} \sin \alpha_{k+1,j} \cdot \cos \alpha_{k+1,i} \cdot \theta_{k+1}^{\alpha} + \frac{b_{k+1} a_{k+1} j}{2} \cos \alpha_{k+1,j} \cdot \cos \alpha_{k+1,i} \cdot \theta_{k+1}^{\tau} \left. \right) \cdot X_{(k-1)m+j} \\
 & + \left(-\cos \alpha_{k+1,i} \cdot \theta_{k+1}^{\beta} + \frac{b_{k+1} a_{k+1} j}{2} \sin \alpha_{k+1,j} \cdot \cos \alpha_{k+1,i} \cdot \theta_{k+1}^{\alpha} + \frac{b_{k+1} a_{k+1} j}{2} \cos \alpha_{k+1,j} \cdot \cos \alpha_{k+1,i} \cdot \theta_{k+1}^{\tau} \right) \cdot X_{2n+j} \\
 & + \left(-\sin \alpha_{k,j} \cdot \cos \alpha_{k,i} \cdot \theta_{(k-1)m+j}^{\beta} - \cos \alpha_{k,j} \cdot \cos \alpha_{k,i} \cdot \theta_{(k-1)m+j}^{\alpha} \right) \cdot Y_{(k-2)m+j} + \left(\sin \alpha_{k,j} \cdot \cos \alpha_{k,i} \cdot \theta_{(k-1)m+j}^{\beta} \right. \\
 & + \cos \alpha_{k,j} \cdot \cos \alpha_{k,i} \cdot \theta_{(k-1)m+j}^{\alpha} + \sin \alpha_{k+1,j} \cdot \cos \alpha_{k+1,i} \cdot \theta_{k+1}^{\beta} + \cos \alpha_{k+1,j} \cdot \cos \alpha_{k+1,i} \cdot \theta_{k+1}^{\alpha} \left. \right) \cdot Y_{(k-1)m+j} \\
 & + \left(-\sin \alpha_{k+1,j} \cdot \cos \alpha_{k+1,i} \cdot \theta_{k+1}^{\beta} - \cos \alpha_{k+1,j} \cdot \cos \alpha_{k+1,i} \cdot \theta_{k+1}^{\alpha} \right) \cdot Y_{2n+j} \Big] + 2C_{(k-1)m+i} \cdot Y_{(k-1)m+i}
 \end{aligned}$$

$$= \cos \alpha_{k+1, l} \cdot \theta_{i+1, m+1} - \cos \alpha_{k, l} \cdot \theta_{i+1, m+1} \dots \dots \dots (13)$$

4-7 一般構造Fにおける仕事方程式とマトリックスの定義

前記式(2)(13)の k, l, i の値を入れると、仕事方程式の係数と荷重項が決定する。之をマトリックス表示すると次の様になる。

$$\begin{vmatrix} A & B \\ C & D \end{vmatrix} \begin{vmatrix} X \\ Y \end{vmatrix} = \begin{vmatrix} E \\ F \end{vmatrix} \quad A = \begin{vmatrix} A_{1,1} & A_{1,2} & A_{1,3} & \dots & A_{1,n} \\ A_{2,1} & A_{2,2} & A_{2,3} & \dots & A_{2,n} \\ A_{3,1} & A_{3,2} & A_{3,3} & \dots & A_{3,n} \\ \vdots & \vdots & \vdots & \ddots & \vdots \\ A_{n,1} & A_{n,2} & A_{n,3} & \dots & A_{n,n} \end{vmatrix} \quad [A_{ij}] = \begin{vmatrix} a_{1,1} & a_{1,2} & a_{1,3} & \dots & a_{1,n} \\ a_{2,1} & a_{2,2} & a_{2,3} & \dots & a_{2,n} \\ a_{3,1} & a_{3,2} & a_{3,3} & \dots & a_{3,n} \\ \vdots & \vdots & \vdots & \ddots & \vdots \\ a_{n,1} & a_{n,2} & a_{n,3} & \dots & a_{n,n} \end{vmatrix}$$

A, B, C, D は l 行, l 列の正方形行列であつて上記の通り A を表示し E が, B, C, D をついでに同様のマトリックスより成る。更には A, B, C, D を構成するエレメント, 例へば A の i 行 j 列目の正方形行列 $[A_{ij}]$ も上記の様になり、このエレメントより構成される n 行 n 列の行列である。

1) マトリックス A の対角要素 $A_{ii} (i=1, 2, \dots, n)$

(i) 対角小行列 A_{ii} の対角要素 $a_{ii} (i=1, 2, \dots, n)$

$$\begin{aligned} a_{ii} (i=1, 2, \dots, n) &= \left(\delta_{(i-1)n+j}^{i-1} - \frac{b_i+a_{ii}}{2} \sin \alpha_{ii} \cdot \delta_{(i-1)n+l}^{i-1} - \frac{b_i+a_{ii}}{2} \cos \alpha_{ii} \cdot \delta_{(i-1)n+l}^{i-1} + \delta_{in+l}^{i-1} \right. \\ &+ \frac{b_i+a_{ii}}{2} \sin \alpha_{i+1, l} \cdot \delta_{in+l}^{i-1} + \frac{b_i+a_{ii}}{2} \cos \alpha_{i+1, l} \cdot \delta_{in+l}^{i-1} - \frac{b_i+a_{ii}}{2} \cos \alpha_{il} \cdot \theta_{(i-1)n+l}^{i-1} \\ &+ \frac{b_i+a_{ii}}{2} \sin \alpha_{ii} \cdot \frac{b_i+a_{ii}}{2} \cos \alpha_{ii} \cdot \theta_{(i-1)n+l}^{i-1} + \left(\frac{b_i+a_{ii}}{2} \right)^2 \cos^2 \alpha_{ii} \cdot \theta_{(i-1)n+l}^{i-1} + \frac{b_i+a_{ii}}{2} \cos \alpha_{i+1, l} \cdot \theta_{in+l}^{i-1} \\ &\left. + \left(\frac{b_i+a_{ii}}{2} \right)^2 \sin^2 \alpha_{i+1, l} \cos^2 \alpha_{i+1, l} \cdot \theta_{in+l}^{i-1} + \left(\frac{b_i+a_{ii}}{2} \right)^2 \cos^2 \alpha_{i+1, l} \cdot \theta_{in+l}^{i-1} \right) + 2A_{(i-1)n+i} \dots \dots \dots (14) \end{aligned}$$

(ii) 対角小行列 A_{ii} の対角要素以外の要素 a_{ij}

$$\begin{aligned} a_{ij} (i=1, 2, \dots, n; j=1, 2, \dots, n) &= \delta_{(i-1)n+j}^{i-1} - \frac{b_i+a_{ii}}{2} \sin \alpha_{ij} \cdot \delta_{(i-1)n+j}^{i-1} - \frac{b_i+a_{ii}}{2} \cos \alpha_{ij} \cdot \delta_{(i-1)n+j}^{i-1} \\ &+ \delta_{in+j}^{i-1} + \frac{b_i+a_{ij}}{2} \sin \alpha_{i+1, j} \cdot \delta_{in+j}^{i-1} + \frac{b_i+a_{ij}}{2} \cos \alpha_{i+1, j} \cdot \delta_{in+j}^{i-1} - \frac{b_i+a_{ii}}{2} \cos \alpha_{ii} \cdot \theta_{(i-1)n+j}^{i-1} \\ &+ \frac{b_i+a_{ij}}{2} \cdot \frac{b_i+a_{ii}}{2} \sin \alpha_{ij} \cos \alpha_{ii} \cdot \theta_{(i-1)n+j}^{i-1} + \frac{b_i+a_{ij}}{2} \cdot \frac{b_i+a_{ii}}{2} \cos^2 \alpha_{ij} \cdot \theta_{(i-1)n+j}^{i-1} \\ &+ \frac{b_i+a_{ij}}{2} \cos \alpha_{i+1, l} \cdot \theta_{in+j}^{i-1} + \frac{b_i+a_{ij}}{2} \cdot \frac{b_i+a_{ii}}{2} \sin \alpha_{i+1, j} \cos \alpha_{i+1, l} \cdot \theta_{in+j}^{i-1} \\ &+ \frac{b_i+a_{ij}}{2} \cdot \frac{b_i+a_{ii}}{2} \cos \alpha_{i+1, j} \cos \alpha_{i+1, l} \cdot \theta_{in+j}^{i-1} \dots \dots \dots (15) \end{aligned}$$

2) マトリックス A の要素 $A_{i, i+1} (i=1, 2, 3, \dots, n-1)$

E 行行列 $A_{i, i+1}$ の要素を一般的に a_{ij} と表はすと,

$$a_{ij} = -\delta_{in+j}^{i-1} + \frac{b_i+a_{ii}}{2} \sin \alpha_{i+1, j} \cdot \delta_{in+j}^{i-1} + \frac{b_i+a_{ii}}{2} \cos \alpha_{i+1, j} \cdot \delta_{in+j}^{i-1} - \frac{b_i+a_{ii}}{2} \cos \alpha_{ii} \cdot \theta_{in+l}^{i-1}$$

$$+ \frac{b_{i+1}+a_{i+1,j}}{2} \frac{b_{i+1}+a_{i+1,i}}{2} \sin \alpha_{i+1,j} \cos \alpha_{i+1,i} \cdot \Theta_{i+1,j}^{M_{i+1,i}} + \frac{b_{i+1}+a_{i+1,j}}{2} \frac{b_{i+1}+a_{i+1,i}}{2} \cos \alpha_{i+1,j} \cos \alpha_{i+1,i} \cdot \Theta_{i+1,i}^{T_{i+1,i}}, \dots (16)$$

3) マトリックスAの要素A_{i,i-1} (i=2,3,4,...l)

$$A_{i,j} = -\delta_{(i-1)m+i}^{(i-1)m+j} \frac{b_{i+1}+a_{i+1,j}}{2} \sin \alpha_{i,j} \cdot \delta_{(i-1)m+i}^{M_{i-1,m+i}} - \frac{b_{i+1}+a_{i+1,j}}{2} \cos \alpha_{i,j} \cdot \delta_{(i-1)m+i}^{T_{i-1,m+i}} + \frac{b_{i+1}+a_{i+1,i}}{2} \cos \alpha_{i,i} \cdot \Theta_{(i-1)m+j}^{P_{i-1,m+i}} \\ + \frac{b_{i+1}+a_{i+1,j}}{2} \frac{b_{i+1}+a_{i+1,i}}{2} \sin \alpha_{i,j} \cos \alpha_{i,i} \cdot \Theta_{(i-1)m+i}^{M_{i-1,m+i}} + \frac{b_{i+1}+a_{i+1,j}}{2} \frac{b_{i+1}+a_{i+1,i}}{2} \cos \alpha_{i,j} \cos \alpha_{i,i} \cdot \Theta_{(i-1)m+j}^{T_{i-1,m+i}}, \dots (17)$$

4) 上記以外のマトリックスAの要素

上記以外のマトリックスAの要素, 即ちm行m列の正方形行列の要素は全て零である。

5) マトリックスBの対角要素B_{i,i} (i=1,2,3,...l)の要素A_{i,j}

$$A_{i,j} \left(\begin{matrix} i=1,2,3,\dots,m; \\ j=1,2,3,\dots,m \end{matrix} \right) = \sin \alpha_{i,j} \cdot \delta_{(i-1)m+i}^{M_{i-1,m+i}} + \cos \alpha_{i,j} \cdot \delta_{(i-1)m+i}^{T_{i-1,m+i}} + \sin \alpha_{i+1,j} \cdot \delta_{i+1,j}^{M_{i+1,i}} + \cos \alpha_{i+1,j} \cdot \delta_{i+1,i}^{T_{i+1,i}} \\ - \frac{b_{i+1}+a_{i+1,i}}{2} \sin \alpha_{i,j} \cos \alpha_{i,i} \cdot \Theta_{(i-1)m+j}^{M_{i-1,m+i}} - \frac{b_{i+1}+a_{i+1,i}}{2} \cos \alpha_{i,j} \cos \alpha_{i,i} \cdot \Theta_{(i-1)m+j}^{T_{i-1,m+i}} \\ + \frac{b_{i+1}+a_{i+1,i}}{2} \sin \alpha_{i+1,j} \cos \alpha_{i+1,i} \cdot \Theta_{i+1,j}^{M_{i+1,i}} + \frac{b_{i+1}+a_{i+1,i}}{2} \cos \alpha_{i+1,j} \cos \alpha_{i+1,i} \cdot \Theta_{i+1,i}^{T_{i+1,i}}, \dots (18)$$

6) マトリックスBの要素B_{i,i+1} (i=1,2,3,...l-1)の要素A_{i,j}

$$A_{i,j} = -\sin \alpha_{i+1,j} \cdot \delta_{i+1,j}^{M_{i+1,i}} - \cos \alpha_{i+1,j} \cdot \delta_{i+1,i}^{T_{i+1,i}} - \frac{b_{i+1}+a_{i+1,i}}{2} \sin \alpha_{i+1,j} \cos \alpha_{i+1,i} \cdot \Theta_{i+1,i}^{M_{i+1,i}} - \frac{b_{i+1}+a_{i+1,i}}{2} \cos \alpha_{i+1,j} \cos \alpha_{i+1,i} \cdot \Theta_{i+1,i}^{T_{i+1,i}}, \dots (19)$$

7) マトリックスBの要素B_{i,i+1} (i=2,3,...l)の要素A_{i,j}

$$A_{i,j} = -\sin \alpha_{i,j} \cdot \delta_{(i-1)m+j}^{M_{i-1,m+i}} - \cos \alpha_{i,j} \cdot \delta_{(i-1)m+j}^{T_{i-1,m+i}} + \frac{b_{i+1}+a_{i+1,i}}{2} \sin \alpha_{i,j} \cos \alpha_{i,i} \cdot \Theta_{(i-1)m+i}^{M_{i-1,m+i}} + \frac{b_{i+1}+a_{i+1,i}}{2} \cos \alpha_{i,j} \cos \alpha_{i,i} \cdot \Theta_{(i-1)m+j}^{T_{i-1,m+i}}, \dots (20)$$

8) マトリックスBの上記要素以外の要素

マトリックスBの上記要素以外の要素はすべて零である

9) マトリックスCの対角要素C_{i,i} (i=1,2,3,...l)の要素A_{i,j}

$$A_{i,j} = \cos \alpha_{i,i} \cdot \Theta_{(i-1)m+i}^{P_{i-1,m+i}} - \frac{b_{i+1}+a_{i+1,i}}{2} \sin \alpha_{i,j} \cos \alpha_{i,i} \cdot \Theta_{(i-1)m+i}^{M_{i-1,m+i}} - \frac{b_{i+1}+a_{i+1,i}}{2} \cos \alpha_{i,j} \cos \alpha_{i,i} \cdot \Theta_{(i-1)m+i}^{T_{i-1,m+i}} \\ + \cos \alpha_{i+1,i} \cdot \delta_{i+1,i}^{T_{i+1,i}} + \frac{b_{i+1}+a_{i+1,i}}{2} \sin \alpha_{i+1,j} \cos \alpha_{i+1,i} \cdot \Theta_{i+1,i}^{M_{i+1,i}} + \frac{b_{i+1}+a_{i+1,i}}{2} \cos \alpha_{i+1,j} \cos \alpha_{i+1,i} \cdot \Theta_{i+1,i}^{T_{i+1,i}}, \dots (21)$$

10) マトリックスCの要素C_{i,i+1} (i=1,2,3,...l-1)の要素A_{i,j}

$$A_{i,j} = \cos \alpha_{i+1,i} \cdot \delta_{i+1,i}^{T_{i+1,i}} + \frac{b_{i+1}+a_{i+1,i}}{2} \sin \alpha_{i+1,j} \cos \alpha_{i+1,i} \cdot \Theta_{i+1,i}^{M_{i+1,i}} + \frac{b_{i+1}+a_{i+1,i}}{2} \cos \alpha_{i+1,j} \cos \alpha_{i+1,i} \cdot \Theta_{i+1,i}^{T_{i+1,i}}, \dots (22)$$

11) マトリックスCの要素C_{i,i+1} (i=2,3,...l)

$$A_{i,j} = -\cos \alpha_{i,i} \cdot \Theta_{(i-1)m+i}^{P_{i-1,m+i}} - \frac{b_{i+1}+a_{i+1,i}}{2} \sin \alpha_{i,j} \cos \alpha_{i,i} \cdot \Theta_{(i-1)m+i}^{M_{i-1,m+i}} - \frac{b_{i+1}+a_{i+1,i}}{2} \cos \alpha_{i,j} \cos \alpha_{i,i} \cdot \Theta_{(i-1)m+j}^{T_{i-1,m+i}}, \dots (23)$$

12) マトリックスBの上記要素以外の要素

マトリックスBの上記要素以外の要素はすべて零である。

13) マトリックスDの対角要素D_{i,i} (i=1,2,3,...l)の要素

$$A_{i,j} = \sin \alpha_{i,i} \cos \alpha_{i,i} \cdot \Theta_{(i-1)m+i}^{M_{i-1,m+i}} + \cos \alpha_{i,i} \cdot \Theta_{(i-1)m+i}^{T_{i-1,m+i}} + \sin \alpha_{i+1,i} \cos \alpha_{i+1,i} \cdot \delta_{i+1,i}^{M_{i+1,i}} + \cos \alpha_{i+1,i} \cdot \delta_{i+1,i}^{T_{i+1,i}} + zC_{(i-1)m+i} \\ \dots (25)$$

14) マトリックスDの対角要素以外の要素

$$a_{ij} = \sin \alpha_{ij} \cos \alpha_{ii} \cdot \theta_{(i-m)+j}^{m+i} + \cos \alpha_{ij} \cos \alpha_{ii} \cdot \theta_{(i-m)+j}^{i-m+i} + \sin \alpha_{i+1,j} \cos \alpha_{i+1,i} \cdot \theta_{i+1-j}^{m+i} + \cos \alpha_{i+1,j} \cos \alpha_{i+1,i} \cdot \theta_{i+1-j}^{i-m+i} \quad (26)$$

15) マトリックスDの要素D_{i,i+1} (i=1,2,3...l-1)

$$a_{ij} = -\sin \alpha_{i+1,j} \cos \alpha_{i+1,i} \cdot \theta_{i+1-j}^{m+i}, -\cos \alpha_{i+1,j} \cos \alpha_{i+1,i} \cdot \theta_{i+1-j}^{i-m+i} \quad (27)$$

16) マトリックスDの要素D_{i,i} (i=2,3,4...l)

$$a_{ij} = -\sin \alpha_{ij} \cos \alpha_{ii} \cdot \theta_{(i-m)+j}^{m+i}, -\cos \alpha_{ij} \cos \alpha_{ii} \cdot \theta_{(i-m)+j}^{i-m+i} \quad (28)$$

17) マトリックスDの上記要素以外の要素

マトリックスDの上記要素以外の要素は全て零である。

18) 荷重項EFの定数

数値の関係は省略するが、参考文献で詳細を解説する。

5. 各種断面力・変位の影響線

換り剛性を考慮しF場合の連飛格子桁の各種断面力・変位の影響線は下記の一般式で表わされる。

$$S = S^0 + \sum_{i=1}^{M+1} \left[(S_{i-m+i}^P + \frac{b+a_{ki}}{2} \sin \alpha_{ki} S_{i-m+i}^T + \frac{b+a_{ki}}{2} \cos \alpha_{ki} S_{i-m+i}^M) X_{i-m+i} + (S_{i+1}^P - \frac{b+a_{ki+1}}{2} \sin \alpha_{ki+1} S_{i+1}^T - \frac{b+a_{ki+1}}{2} \cos \alpha_{ki+1} S_{i+1}^M) X_{i+1} - (S_{i-m+i}^P + \cos \alpha_{ki} S_{i-m+i}^T + \cos \alpha_{ki} S_{i-m+i}^M) Y_{i-m+i} + (S_{i+1}^P + \cos \alpha_{ki+1} S_{i+1}^T + \cos \alpha_{ki+1} S_{i+1}^M) Y_{i+1} \right] \quad (29)$$

S⁰は基本系の断面力・変位の影響線であり、S^P, S^T, S^Mはそれぞれ単位荷重 P=1, T=1, M=1 が作用しF時の基本系断面力・変位のダイヤグラムである。X, Yは勿論、不静定剪断力・不静定曲げモーメントの影響線である。

連飛格子桁の影響線計算のためのシステム・フローチャートは図数・スペースの関係で割愛せざるを得ない。

図数・スペースの関係で割愛せざるを得ない。

前述しFマトリックスA, B, C, Dの要素を計算するルーティンとブロック・フローチャートEを図併記してこの要稿を終える。

```

LL1=2*LMG*NCR
DO 99 I1=1,LL1
DO 99 I2=1,LL1
99 C(LL1,I2)=0.
LL=0
DO 100 K1=1,2
DO 100 J1=1,LMG
DO 100 I1=1,NCR
LL=LL+1
IX1=(J1-1)*NCR+I1
IX2= J1*NCR+I1
DI1=(B(J1) +A(J1,I1))/2.
DI2=(B(J1+1)+A(J1,I1))/2.
DI3=(B(J1) +A(J1+1,I1))/2.
DI4=(B(J1+1)+A(J1+1,I1))/2.
DI5=(B(J1) +A(J1-1,I1))/2.
DI6=(B(J1+1)+A(J1-1,I1))/2.
SI1=SIN(AL(J1,I1))
SI2=SIN(AL(J1+1,I1))
CI1=COS(AL(J1,I1))
CI2=COS(AL(J1+1,I1))
KK=0
DO 100 K2=1,2
DO 100 J2=1,LMG
DO 100 I2=1,NCR
    
```

```

      JX1=(J2-1)*NCR+12
      JX2= J2*NCR+12
      DJ1=(B(J2)+A(J2,12))/2.
      DJ2=(B(J2+1)+A(J2,12))/2.
      DJ3=(B(J2)+A(J2+1,12))/2.
      DJ4=(B(J2+1)+A(J2+1,12))/2.
      DJ5=(B(J2)+A(J2-1,12))/2.
      DJ6=(B(J2+1)+A(J2-1,12))/2.
      SJ1=SIN(AL(J2,12))
      SJ2=SIN(AL(J2+1,12))
      CJ1=COS(AL(J2,12))
      CJ2=COS(AL(J2+1,12))
      KK=KK+1
      IF(K1-1) 10,11,12
      . 11 IF(K2-1) 10,13,14
      . 13 IF(J1-J2) 20,21,22
      . 21 IF(I1-I2) 60,61,60
      . 61 C( LL, KK) = DELP(IX1, JX1) - DJ1 * SJ1 * DELM(IX1, IX1) - DJ1 * CJ1 * DELT(IX1, IX1
      1) + DELP(IX2, IX2) + DJ2 * SJ2 * DELM(IX2, IX2) + DJ2 * CJ2 * DELT(IX2, IX2)
      . 2 - DJ1 * CJ1 * C1TP(IX1, IX1) + DJ1 * SJ1 * DJ1 * CJ1 * C1TM(IX1, IX1) + DJ1 * CJ1 * DJ1 *
      3 CJ1 * C1TT(IX1, IX1) + DJ2 * CJ2 * C1TP(IX2, IX2) + DJ2 * SJ2 * DJ2 * CJ2 * C1TM(IX2, I
      4 X2) + DJ2 * CJ2 * DJ2 * CJ2 * C1TT(IX2, IX2) + AA(IX1) * 2.
      GO TO 10
      . 60 C( LL, KK) = DELP(IX1, JX1) - DJ1 * SJ1 * DELM(IX1, JX1) - DJ1 * CJ1 * DELT(IX1, JX1
      1) + DELP(IX2, JX2) + DJ2 * SJ2 * DELM(IX2, JX2) + DJ2 * CJ2 * DELT(IX2, JX2)
      . 2 - DJ1 * CJ1 * C1TP(IX1, JX1) + DJ1 * SJ1 * DJ1 * CJ1 * C1TM(IX1, JX1) + DJ1 * CJ1 * DJ1 *
      3 CJ1 * C1TT(IX1, JX1) + DJ2 * CJ2 * C1TP(IX2, JX2) + DJ2 * SJ2 * DJ2 * CJ2 * C1TM(IX2, J
      4 X2) + DJ2 * CJ2 * DJ2 * CJ2 * C1TT(IX2, JX2)
      GO TO 10
      . 20 IF(ABS(J1-J2)-1) 10,25,10
      . 25 C( LL, KK) = - DELP(IX1, JX1) - DJ5 * SJ1 * DELM(IX1, JX1) - DJ5 * CJ1 * DELT(IX1, JX
      1) + DJ1 * CJ1 * C1TP(IX1, JX1) + DJ5 * SJ1 * DJ1 * CJ1 * C1TM(IX1, JX1) + DJ5 * CJ1 * DJ1
      2 * CJ1 * C1TT(IX1, JX1)
      GO TO 10
      . 22 IF(ABS(J1-J2)-1) 10,24,10
      . 24 C( LL, KK) = - DELP(IX2, JX2) + DJ4 * SJ2 * DELM(IX2, JX2) + DJ3 * CJ2 * DELT(IX2, JX
      1) - DJ2 * CJ2 * C1TP(IX2, JX2) + DJ4 * SJ2 * DJ2 * CJ2 * C1TM(IX2, JX2) + DJ4 * CJ2 * DJ2
      2 * CJ2 * C1TT(IX2, JX2)
      GO TO 10
      . 14 IF(J1-J2) 120,121,122
      . 121 C( LL, KK) = SJ1 * DELM(IX1, JX1) + CJ1 * DELT(IX1, JX1) + SJ2 * DELM(IX2, JX2)
      1 + CJ2 * DELT(IX2, JX2) - SJ1 * DJ1 * CJ1 * SITM(IX1, JX1) - CJ1 * DJ1 * CJ1 * SITTT(IX1,
      2 JX1) + SJ2 * DJ2 * CJ2 * SITM(IX2, JX2) + CJ2 * DJ2 * CJ2 * SITTT(IX2, JX2)
      GO TO 10
      . 120 IF(ABS(J1-J2)-1) 10,125,10
      . 125 C( LL, KK) = - SJ2 * DELM(IX2, JX2) - CJ2 * DELT(IX2, JX2) - SJ2 * DJ2 * CJ2 * SITM(IX
      1) - CJ2 * DJ2 * CJ2 * SITTT(IX2, JX2)
      GO TO 10
      . 122 IF(ABS(J1-J2)-1) 10,124,10
      . 124 C( LL, KK) = - SJ1 * DELM(IX1, JX1) - CJ1 * DELT(IX1, JX1)
      1 + SJ1 * DJ1 * CJ1 * SITM(IX1, JX1) + CJ1 * DJ1 * CJ1 * SITTT(IX1, JX1)
      GO TO 10
      . 12 IF(K2-1) 10,15,16
      . 15 IF(J1-J2) 220,221,222
      . 221 C( LL, KK) = C11 * SITP(IX1, JX1) - DJ1 * SJ1 * CJ1 * SITM(IX1, JX1)
      1 - DJ1 * CJ1 * C11 * SITTT(IX1, JX1) + DJ2 * SJ2 * CJ2 * SITP(IX2, JX2) + DJ2 * CJ2 * SJ2 * CJ2 * SITM(IX2,
      2 JX2) + DJ2 * CJ2 * CJ2 * SITTT(IX2, JX2)
      GO TO 10
      . 220 IF(ABS(J1-J2)-1) 10,225,10
      . 225 C( LL, KK) = - C12 * SITP(IX2, JX2) + DJ4 * SJ2 * CJ2 * SITM(IX2, JX2)
      1 + DJ4 * CJ2 * CJ2 * SITTT(IX2, JX2)
      GO TO 10
      . 222 IF(ABS(J1-J2)-1) 10,224,10
      . 224 C( LL, KK) = - C11 * SITP(IX1, JX1) - DJ5 * SJ1 * CJ1 * SITM(IX1, JX1)
      1 - DJ5 * CJ1 * CJ1 * SITTT(IX1, JX1)
      GO TO 10
      . 16 IF(J1-J2) 320,321,322
      . 321 IF(I1-I2) 160,161,160
      . 161 C( LL, KK) = SJ1 * C11 * SITM(IX1, IX1) + CJ1 * C11 * SITTT(IX1, IX1)
      1 + SJ2 * C12 * SITM(IX2, IX2) + CJ2 * C12 * SITTT(IX2, IX2) + 2. * CC(IX1)
      GO TO 10
      . 160 C( LL, KK) = SJ1 * C11 * SITM(IX1, JX1) + CJ1 * C11 * SITTT(IX1, JX1)
      1 + SJ2 * C12 * SITM(IX2, JX2) + CJ2 * C12 * SITTT(IX2, JX2)
      GO TO 10
      . 320 IF(ABS(J1-J2)-1) 10,325,10
      . 325 C( LL, KK) = - SJ2 * C12 * SITM(IX2, JX2) - CJ2 * C12 * SITTT(IX2, JX2)
      GO TO 10
      . 322 IF(ABS(J1-J2)-1) 10,324,10
      . 324 C( LL, KK) = - SJ1 * C11 * SITM(IX1, JX1) - CJ1 * C11 * SITTT(IX1, JX1)
      GO TO 10
      . 10 CONTINUE
      . 160 CONTINUE
      CALL EXIT
      END

```

(参考文献)

渡辺 昇：格子点 E の理論と計算；夜報第
 44 号，1964；曲線格子点。幾何本報 P. 13 有重分配性 P. 11 工大学会通信部
 論文集第 21 号